

ASENKRON ELEKTRİK MAKİNALARINDA SÜRÜCÜ DEVRELERE BAĞLI RULMAN ARIZALARININ OLUŞUMU

Zeki AKÇALI

Serhat ŞEKER

R. Nejat TUNÇAY

Elektrik Mühendisliği Bölümü

Elektrik-Elektronik Fakültesi

İstanbul Teknik Üniversitesi, 80626, Maslak, İstanbul

akcali@elk.itu.edu.tr

seker@elk.itu.edu.tr

tuncay@elk.itu.edu.tr

Anahtar sözcükler: Rulman, Oriak Uç Gerilimi, Rulman Elektriksel Modeli, Sürücüler, Kapasitif Değişimler

ÖZET

Bu çalışmada endüstrinin itici gücü olarak en çok kullanılan makine tipi olan asenkron elektrik makinalarında rulman arızaları ile arızaların oluşum mekanizmaları incelenmiştir. Ayrıca rulmanların sürücü devre kaynaklı elektriksel boşalmalar neticesinde bozulmaları ve rulman-motor ikilisinin elektriksel modelleride verilmiştir. Bu kapsamında asenkron motor gücüne bağlı olarak kapasitif elemanların değerlerinin değişimi gösterilerek motor ve rulmanın birleşik elektriksel modeli tanımlanmıştır. Son kısmıda ise rulman arızalarını aşağı seviyeye indirerek asenkron makinaların bakım periyotlarını uzatmaya yönelik alınması gereklili tedbirler tavsiye edilmiştir.

I. GİRİŞ

Her ölçüli sanayi kolunda üretimin planlanan bakım ve onarım dönemleri dışında beklenmedik zamanlarda tamamen ya da kısmen durması işletmelerin büyük bakım ve onarım maliyetleri altna girmesine sebep olmakta ve sorunların ivedilikle çözülmemesini gerektirmektedir.

Bu sebeplerdir ki son yıllarda sanayinin itici güçlü durumundaki asenkron elektrik makinalarında ömrü tayini ile bakım öngörüsü büyük önem kazanmıştır. Bu yöndeki çalışmalar gerek elektrik makinalarının bakımlarının bir düzene oturtulması, gerekse elektriki, mekaniki veya kimyevi proseslerin aksaması sebebiyle üretim kayıplarının engellenmesi yönünde ilgi çeken bir konu haline gelmiştir.

Sanayide yapılan araştırmalarda saptanan elektrik makinaları arızalarının %50'sini rulmanlar ve şaft dengesizliklerinden kaynaklanan arızalar olduğu bulunmuştur [1-3]. Bu nedenle konuya ilgili literatır ve sanayideki çalışma ile araştırmaların çoğuluğu, rulman arızalarının ve şaft dengesizliklerinin bulunmasının yönelik olmuştur. Buna paralel olarak yeni birçok

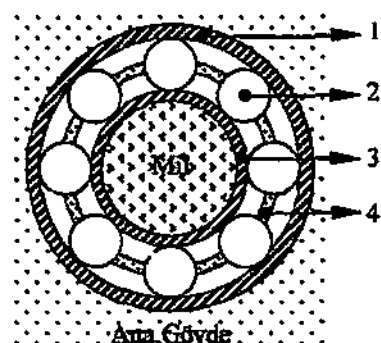
çalışmada ise rulman arızalarının mekaniki olduğu kadar, kullanılan sürücülerden kaynaklanan elektrik problemleri olduğu gözlemlenmiştir [4-13].

II. RULMANLARIN GENEL YAPISI ve RULMAN ARIZALARININ OLUŞUMU

A. Rulmanların Genel Yapısı

Genel olarak rulmanlar mekanik yatakların bir alt sınıfı olup bir makinede birbirine göre farklı hızlarda dönmeye hareketi yapan parçaların olduğu yerlerde kullanılır. Dönmeye hareketi yapan kısımların arasındaki sırtlinme kuvvetini en aza indirmek veya ortadan kaldırarak rulmanların kullanılmasında temel amaçtır. Genel olarak rulmanlar iç ve dış halka ile yuvarlanan elemanlar ve bu elemanları tutan bir kafesten oluşurlar.

Yuvarlanan elemanlar itibarı ile de yuvarlak, küresel, silindirik veya iğne gibi değişik tiplerde rulmanlar mevcuttur. Burada konumuz gereği ve genel bir bilgilendirme mahiyetinde küresel yuvarlanma elemanlı rulmanlar ele alınacaktır. Şekil 1'de bu tip bir rulmanın genel yapısı verilmiştir.



Şekil 1. Bir Rulmanın genel yapısı (1-duş bilezik, 2-yuvarlanma elemanları, 3-ic bilezik, 4-kafes)

Rulmanların genelikle iki tarafı koruyucu kapaklarla kapatılmış olup içi elektriksel olarak ilətken olmayan bir gresle doldurulmuştur. Dönmə hərəketi başlamadan evvel iç bilezik taşımakta olduğu yüksək yuvarlanma elementləri vasitəsi ilə düş bileziğe ve dolayısıyla ana gövdeye aktarır. Bu durumda bütün elementlər birbirlerine temas etmektedir.

Hərəketin başlaması ve dönen elementin genel olarak arma hızının $\%10$ 'una çatması ilə söz konusu temas kaybolur ve elementlər arasında $0,1$ ilə $2 \mu\text{m}$ kalınlığında bir gres film tabakası oluşur [14]. Bu halde bilezikler ile yuvarlanan elementlər arasındaki sırtılma kuvveti minimum düzeye düşmüş bulunmaktadır.

B. Rulman Arızalarının Oluşumu

Bu dönmə hərəketi esnasında elektromagnetik, elektrostatik, rotor üzerindeki gerilimler ile sərgildikləri və hava aralığında magnetik dengesizliklərdən dolayı "şaft gerilimleri" oluşur [15,16]. Bu gerilimler yüksək hızlardaki dönmə esnasında yağın delimme gerilimi olan eşik gerilimine ulaşırlarsa, yağ tabakasını delip kırılcımlar halinde elektriksel atlamaşara sebep olurlar [9,10]. Bu tip atlamaşara "boşalma modu"nda atlamaşlar da denir. Alçak hızlarda ise bu gerilimler temas halinde bulunan rulman bileşenləri üzərində "iletim modu"nda akımların akmasına sebep olur.

Böylesce rulmanlar üzərində akan akımlar her ne kaynaklı olursa olsun iki değişik maddə meydana gelir. İletim modunda oluşan endüktif akımlar rulman içerisinde bir streklik göstərdiyindən, digərinə nəzərən rulmanda kisa bir zaman dilimində ortaya çıkmabilecek bir arzaya sebep olmaktadır. Bir başqa kaynakta ise hərəket halinde olmayan rulmanlardan yüksək akımlar bileziklərə həzər zərər vermeden aktığı rapor edilmişdir [17]. Ancak iletim modumun aksine boşalma modundakı kapasitif akımlar ise rastlantısal boşalmaşalar halinde gerçekleşir. Şaft gerilimi ne kadar böyük ise akan akımların değeri de o kadar böyük olmaktadır.

Bu atlamaşalar zaman içerisinde rulman bileziklerinin yapısal şəkillərində gəzle görüldür düşeyde bozulma ve aşınmaları oluşturur. Yüksek rulman akımları her seferinde atlama noktasını belli bir derecede ergiterek mikron düzeyində parçacıklar koparır. Zaman içerisinde de yağ tabakasındaki bu delinmeler yağın əzəlliklərinin bozulmasına və yaşılama işlevini yerine getirməməsinə sebep olur [18].

Bu bozukluklar sonucu yuvarlanma elementləri ile bilezikler arasındaki yağ filmi kalınlığı çevre boyunca bir dəqiqlik və pürzülük göstərir. Böylesce rulmandakı yıprama, makine üçün belirlənən titrəşim, gürültü və boşluk gibi toleranslar kabul edilemeyecek seviyeye gelinceye -küsaca rulman bozuluncaya- kadar hızlanarak büyütən bir trend içerisinde artar. Boşalma modunda akan akımların oluşturduğu tipik bir düş bilezik eskimesi Şəkil 2'de göstərilmişdir [19].



Şekil 2: Boşalma modunda akan akımların oluşturduğu tipik rulman eskimesi

III. RULMAN İLE MOTORUN ELEKTRİKSEL MODELLERİ

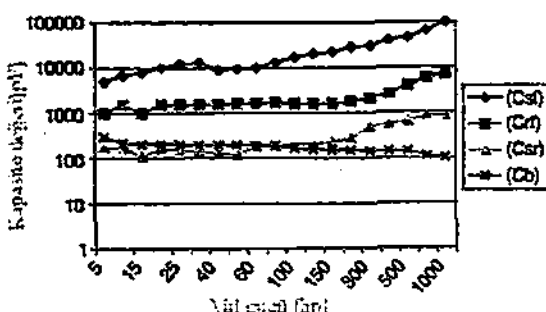
Rulmanların değişik hızlarda ve yük durumlarındaki halleri üçün bir kaç değişik model ortaya atılmışdır [7,11]. Her ne kadar belli noktalarda birbirlerinden fərqlik göstərsələr de genel olaraq modeller incelemə baxından dəsək və yüksək hızlarda olmak üzərə iki şəkilde kurulabilir.

İlk modelde rotor çox yavaş döndürgündən yuvarlanma elementi və bilezikler arasında yaklaşık 10^{-10}m kalınlığında bir yağ filmi bulunmakta və bu temas noktasındaki direnç 0.5Ω 'dan küçük değerler almaktadır [7]. Bu sebeple dəsək hızlarda rulmanlar en basit şəkilde bir direnç ilə modellenebilir.

Daha öncə belirtildiği üzərə hızın artmasıyla yuvarlanma elementləri və bilezikler arasında dəsək hızlarındakı nəzərən olsakça kalm ($0,1$ - $2 \mu\text{m}$) bir yağ filmi oluşur. Böylesə dəsək hızlarındakı omik karakterdeki temas ortadan kalkar. Zaten elektriksel olaraq yalnız bir özəllik taşıyan yağ ilə (yağ bir dielektrik malzeme olaraq düşünlürlərse) yuvarlanan elementlər və bilezikler kapasitif bir elemən (C_b) oluştururlar. Genel bir fikir vermesi açısından mineral bazlı greslerin yaklaşık 10^6V/m mertebesində bir delimme gerilimine sahip olduğu və tipik bir yağ filmimin $0,2\mu\text{m}$ kalınlığında olduğu kabul edilirse, bu kapasitif elemənin dayanma ya da eşik gerilimi (V_a) $0,4\text{V}$ olaraq bulunabilir [7].

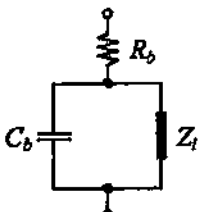
Asenkron motor modelində rulman kapasitesi (C_b) hərincə üç tane dəha kapasite eleməni bulumlahaktadır. Bumlardan stator-gövdə arasındakı kapasitif elemən (C_{ab}), stator ilətkenleri ilə gövdə arasında bulunan hava aralığı çevresi və boyunca dağıtılmış kapasitələrin bir eşdeğəridir. Yine aym şəkilde hava aralığı çevresi və boyunca dağıtılmış olan stator-rotor (C_{ar}) və rotor-gövdə (C_{rb}) kapasitif elemənlərin da eşdeğərli modelde yer almaktadır. Bu üç eşdeğər elemən ilə rulman modelində yer alan rulman kapasitesinin makinənin amma gücünə görə değişimləri Şəkil 3'te verilmişdir [20]. Genel olaraq

modellerde C_{sf} yâlınz bağına kullanılabilir olsa da sırtıcı devrelerin bulunduğu durumlarda oluşan yüksek dV/dt oranları diğer kapasitif elemanlarında modele dahil edilmesini gereklî kılmaktadır.



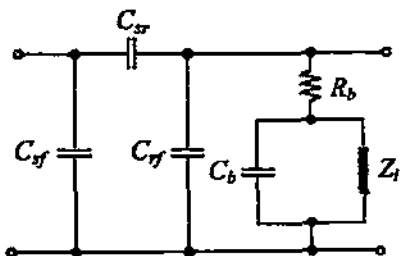
Şekil.3 Asenkron motor gücüne bağlı olarak kapasitif elemanların değerlerinin değişimi

Genel olarak bir rulman modeli, kapasitif, omik ve lineer olmayan bir empedans (Z_i) kullanılarak en basit biçimde üç eleman ile Şekil 4'teki gibi kurulabilir [8]. Rulman modelinde kullanılan direnç (R_b), iç ve dış bilezik iç dirençleri ile, "n" tane paralel yuvarlanma elemanının iç dirençlerinin eşdeğerinin seri toplamı olarak tanımlanabilir.



Sekil 4 Bir rulmanın en genel elektriksel modeli

Bu bilgiler ışığında gerçekçi bir elektriksel model olarak asenkron motor ve rulman modelleri Şekil 5'teki gibi birleştirilebilir [8].



Şekil 5 Motor ve ruhmann birleştirilmiş elektriksel modeli

IV. SÜRÜCÜ DEVRE KAYNAKLı BOSALMALAR

Yakın zamandaki çalışmalar göstermiştir ki 1920'de Alger'in belirttiği magnetik asimetrislerle oluşan şaft gerilimleri ile kaynağı sırtılı sistemler olan şaft gerilimleri birbirlerinden farklıdır [21]. Rulman teknolojisindeki ilerlemeler ışığında, rulman ömrünün uzatılabilmesi için yuvarlanma elemanları optimum hidrodinamik formlarda tasarlamıştır. Ancak sırtılı devrelerin elektrik makinaları ile birlikte sıklıkla kullanıldığı günümüzde, en iyi performans için optimize edilmiş rulmanlarda dahi hiç beklenmeyen arızalar ortaya çıkmıştır.

Yine aynı çalışmalar yuvarlanma elemanlarının hidrodinamik tasarımlarının şaft gerilimlerinin oluşmasına sebep olacak bir mekanizmaya sahip olduğu ve sonucunda da boşalma akımlarına yol açtığı görülmüştür [8]. Boşalma akımlarının darbe genişlik modülasyonlu sürücü devreler ile oluşabilmesi için şaft gerilimlerinin (V_n) oluşması, stator ile rotor arasında kapasitif bir eleman (C_n) bulunması ve rulman kapasitesinin (C_b) üzerinde yeterli miktarda gerilimin birikmesi gereklidir.

Herhangi tipik bir eviricide yük uçları bazen hiç istenmediği halde anahtarlama frekansından ve anahtar karakteristiklerinden dolayı aynı anda eş potansiyele çekilmekte ve sığlıklar üzerinde toprağa nazaran gerilimler oluşmaktadır. Bu gerilimlere ortak uç gerilimleri ve dolayısıyla oluşturacağı akımlara da ortak uç akımları denir. Bu gerilimlerin oluşma sebebi genellikle sığlıkların toprakla arasında bulunan ve hava aralığı çevresi ve boyunca dağılmış olan kanasitenin yıkılmasına sonucudur.

Bu yüklenme yüksek potansiyeldeki doğru gerilim barasına bağlı anahtarların yeteri kadar kısa bir süre de olsa aynı anda iletimde kalmaları sayılmalıdır. Örnek olarak, herhangi bir atesleme serisinden sonra pozitif baraya bağlı anahtarların aynı anda belli bir süre iletimde kaldıklarını varsayılmı. Bu süre zarfında asenkron makîmanın herhangi bir fazının iki ucu da eş potansiyele çıkacak ve toprağa karşı belli bir gerilim değerine ulaşacaktır. Bu gerilim değeri zaman içerisinde her iki anahtarda devrede olduğu sürece kapasite elemanlarını yükleyecek ve yağ filminin eşik gerilimi aşıldığında da ortak uç akımı (rulman akımı) olarak rulman üzerinden toprağa enerji akacaktır [11].

İletime gitme ve kesime gitme süreleri uzun ve birbirleri arasında farklılık gösteren anahtarların bulunduğu ve taşıyıcı frekansı belli limitlerin üzerinde olan sürücülerin sürdürdüğü makinalarda ortak üç geriliminin delimme geriliminin üstüne çıkması daha sık olmaktadır. Bu ise doğal olarak rulmanların ömrülerini kısaltmaktadır ve makina güvenilirliğini de azaltmaktadır.

Kapasite elemanlarının yüklenerek, yağm delimne dayanımı üzerine ulaşacak gerilim değerlerine çökme sıklığı yukarıda belirtilenlerin haricinde başka birçok

parametreye bağlıdır. Bu parametreler makinamın yüklenmesi, hızı zamana yavaşlaması, doğru gerilim barasının ve sürücü devrenin kararlılığı sayılabilir. İşte bu sebeplendir ki rulman akımları bir çok parametrenin etkisi altında rastlantısal bir şekilde boşalmakta ve yine rulman bilezikleri çevresinde belli aralıklardan ziyade rastlantısal şekilde bütün yüzeyde tıbirat oluşturmaktadır. Ayrıca zamanla tıbirattan dolayı oluşan oyuklara yuvarlanma elemanlarının “dışlanması” sonucu bu oyuklar boşalmalar ile daha da derinleşmekte ve elektrik makinası mekanik olarak daha fazla tehlikeye maruz kalmaktadır.

V. RULMAN AKIMLARININ ÖNLENMESİNE YÖNELİK ALINMASI GEREKLİ TEDBİRLER

IEEE Standart 112'ye göre test edilmiş motorlarda 300mV'u aşan şaft gerilimlerinin oluşturduğu rulman akımlarının rulman bileziklerinde oyuklar oluşturarak eskimesine ve hatta bozulmasına yol açtığı gözlemlenmiştir [22]. Şaft gerilimi 300mV'u aşan durumlarda makinamın rulmanlarına zarar gelmemesi için rulmanlarından en az biri kapasitif karakterli dolaşım akımlarını engellemek amacıyla yalıtmalıdır.

Bu yalıtma işleminde yalıtması gereken rulman yüklen bağılanmadığı mil ucu olmalıdır. Böylece sırıllen yük dolaşım akımları için akım yolu teşkil etmez. Ancak pratikte iki rulmanın birden yalıtması tercih edilmelidir. Bu tip bir rulman yalıtma işlemi NEMA ve IEC standartlarında göre gövde numarası sırasıyla 504 ve 315'ten büyük makinalar için yapılmalıdır [19,22,23]. Bumulla beraber, şaft topraklama bileziklerinin elektrik makinası, dişli kutusu ve takogenerator ile yıldız millerine bağlanması da rulman akımlarının en düşük seviyelerde tutulmasına yardımcı olacaktır.

Ayrıca sürücü devrenin taşıyıcı frekansını 800-3500 Hz arasında seçmek (bu aralıktaki düşük frekanslarda rulman içindeki modelde bulunan kapasitelerin çok yüksek empedansı göstermesinden dolayı) statordan rotora enerji transferi en düşük seviyeye indirecektir [19,23]. Eðylece taşıyıcı frekansının azaltılmasına bağlı olarak motor performansının düşmesine rağmen şaft gerilimleri ile oluşan rulman akımlarındaki boşalma sayısı azaltılmış olur. Ayrıca sürücü devrenin yıldız noktası uygun değerlilikli bir filtre kullanılarak doğru gerilim barasının “0” (sifir) noktasına bağlanması gereklidir. Bu suretle şaft gerilimlerinden dolayı akabilecek akımlar için motor ve rulmanlar yerine düşük empedanslı bir yol təmin edilmiş olur.

Bu tedbirlerin yanısıra motor gövdesi, yüksek frekanslı akımların gövdeden toprağa kolayca akımlarını sağlayacak şekilde topraklamalı ve her motor için standartlarda belirtilen enerji kabloları ile bağlantı elemanları kullanılmalıdır. Bu önlemlerin yanısıra sürücüler ile motorlar mümkün olan en kısa kablo ile birbirlerine bağlanmalıdır.

VI. SONUÇ

Bu makalede sanayinin içi gücü olarak çalışan asenkron motorlarındaki sürücü devrelerine bağlı oluşan rulman arızaları günden geçirilmiştir. Rulman arızaları, sebepleri, elektriksel modeller en basit şekli ile sunulmuştur. Ayrıca rulmanlardaki arızaların oluşma mekanizması ile sürücü devrelerin bu mekanizmaya nasıl etkidiði de anlatılmıştır.

Sürücü devre elemanlarının karakteristik özelliklerile makina, rulmanlar ve sırıllen yükün etkileşimi sonucunda sürekli değiþen parametrelere bağlı olarak boşalma akımlarının dízenli periyotlardan çok niçin rastlantısal olduğu da aydınlatılmıştır.

En son bölümde ise sanayide pratik bir şekilde rulman ömrülerini uzatmak için nasıl bir yol izlenmesi ve ne çeşit tedbirlerin alınması gerektiği anlatılmıştır.

KAYNAKLAR

- [1] R. Schoen, T.G. Habetler, F. Kamran, R.G. Burtheld, "Motor Bearing Damage Detection Using Stator Current Monitoring", 1994 IEEE Industrial Application Meeting 1994, v.1, pp.110-116.
- [2] S.V. Bowers, K.R. Piety, "Proactive Motor Monitoring Through Temperature Shaft Current and Magnetic Flux Measurements", CSI 1993 Users Conference, September 20-24, pp.2-3.
- [3] S. Seker, B.P. Upadhyaya, A.S. Erbay, J.P. McClanahan, A.A. DaSilva, "Rotating Machinery Monitoring and Degradation Trending Using Wavelet Transforms", MARCON '98 Maintenance and Reliability Conference, Knoxville, TN, 12-14 May 1998, v.1, pp.23.01-23.11.
- [4] F. Punga, W. Hess, "Bearing Currents", Elektrotech Maschinen, August 1907, v.25, pp.615-618.
- [5] J. Boyd, H.N. Kaufman, "The Cause and Control of Electrical Currents in Bearings", Lubrication Engineering, January 1958, pp.28-35.
- [6] L. Kerszenbaum, "Shaft Currents in Electrical Machines Fed by Solid State Drives", Proc. IEEE Industrial and Commercial Power Systems Technical Conference 1992, pp.71-79.
- [7] J.M. Erdman, R.J. Keckman, D.W. Schlegel, G.L. Skibinski, "Effect of PWM Inverters on AC Motor Bearing Currents and Shaft Voltages", Proc. IEEE 10th Annual Applied Power Electronics Conference and Exposition (APEC '95), Dallas, TX, 1995, v.1, pp.24-33.
- [8] D.F. Busse, J.M. Erdman, R.J. Keckman, D.W. Schlegel, G.L. Skibinski, "The Effects of PWM Voltage Source Inverters on the Mechanical Performance of Rolling Bearings", IEEE Trans. on Industrial Applications, March/April 1997, v.33, n.2, pp.567-576.

- S.P. Verma, R.S. Gilgis, R.J. Fleming, "The Problems and Failures Caused by Shaft Potentials and Bearing Currents in Turbogenerators", Int. Conf. On Large High Voltage Electric System, CIGRE Session, 1980, paper 11-10.
- [1] J. Boyd, H.N. Kaufman, "The Conduction of Current in Bearings", ASLE Trans., October 1958, pp.67-77.
- [1] S. Chen, T.A. Lipo, D. Fitzgerald, "Source of Induction Motor Bearing Currents Caused by PWM Inverters", IEEE Trans. on Energy Conversion, March 1997, v.11, n.1, pp.25-32.
- [2] S. Chen, T.A. Lipo, D. Fitzgerald, "Modeling of Motor Bearing Current in PWM Inverter Drives", IEEE Trans. on Industrial Applications, November/December 1996, v.32, n.6, pp.1365-1370.
- [3] S. Chen, T.A. Lipo, D.W. Novotny, "Circulating Type Motor Bearing Current in Inverter Drives", Conference Record IEEE-IAS Annual Meeting, 1996, v.1, pp.162-167.
- [4] A. Binder, A. Schrepfer, "Bearing Currents in Induction Machines due to Inverter Supply", ICEM '98, International Conference on Electrical Machines, September 2-4 1998, Istanbul, v.1, pp.586-591.
- [5] M.J. Costello, "Shaft Voltages and Rotating Machinery", IEEE Trans. on Industrial Applications, March/April 1993, v.29, n.2, pp.419-425.
- [16] Z. Krzemien, "Bearing Current in Induction Motors Supplied with Power from PWM Inverters", ICEM '98, International Conference on Electrical Machines, September 2-4 1998, Istanbul, v.1, pp.592-596.
- [17] S. Andreason, "Passage of Electrical Currents thru Rolling Bearings", SKF Gothenburg.
- [18] S. Seker, E. Ayaz, E. Türkcan, A.S. Erbay, "Dalgacık Analizi Tekniği ile Elektrik Makinalarında Hızlandırılmış Eskimeye Bağlı Rulman Arıza Tanısı", SIU'99, Sinyal İşleme Uygulamaları, 1999, Bilkent, Ankara.
- [19] D. MacDonald, W. Gray, "PWM Drive Related Bearing Failures", IEEE Industry Applications Magazine, July/August 1999, pp.41-47.
- [20] D.F. Busse, J.M. Erdman, R.J. Kerkman, D.W. Schlegel, G.L. Skibinski, "Bearing Current and Their Relationship to PWM Drives", IEEE Trans. on Power Electronics, March 1997, v.12, n.2, pp.243-252.
- [21] P. Alger, H. Samson, "Shaft Currents in Electric Machines", presented at the A.I.R.E. Conference in Philadelphia, PA, February 1924.
- [22] NEMA Standards Publication No. MG 1-1993, Motors and Generators
- [23] P.J. Link, "Minimizing Electric Bearing Currents in ASD Systems", IEEE Industry Applications Magazine, July/August 1999, pp.55-66.